



# 标准与协变光前方法及其在 $b$ 味强子半轻衰变 中的应用

学科、专业 : 物理学、粒子与原子核物理  
研究方向 : 粒子物理理论  
申请学位 : 理学博士  
申请人 : 王晓琳  
指导教师 : 常钦 教授

博士学位论文答辩

2021年5月22日 @ 新乡 河南

# Outline

- 1 标准和协变光前方法下  $P \rightarrow P, S, V, A$  过程张量形状因子的研究**
  - 研究动机
  - 理论框架
  - 数值结果与分析
  - 小结
- 2  $b \rightarrow c\ell^-\bar{\nu}_\ell$  引起的矢量介子半轻衰变的研究**
  - 研究动机
  - 理论框架与结果
  - 数值结果与分析
  - 小结
- 3 工作总结和展望**
- 4 致谢**

标准和协变光前方法下  $P \rightarrow P, S, V, A$  过程张量形状因子的研究

研究动机

- 光前夸克模型(LFQM)是一种基于光前量子化和夸克模型的方法。
  - 标准光前夸克模型(SLF QM): 是一种基于光前形式和QCD光前量子化的相对论性的夸克模型。

问题: 协变性问题

M. V. Terentev, SJNP 24 (1976) 106; P. L. Chung *et al.*, PLB 205 (1988) 545.
  - 协变光前夸克模型(CLF QM): Jaus 基于显然协变性 Bethe-Saltpeter (BS) 方法并结合 SLF QM 提出的一种模型和计算方法; 可以有效地确定 zero-mode 贡献;

问题: 协变性问题, 自治性问题

W. Jaus, Phys. Rev. D 60 (1999) 054026; H. Y. Cheng *et al.*, Phys. Rev. D 69 (2004) 074025;
  - 解决方案: 通过修改显然协变的 BS 方法和 LFQM 的对应关系 (type-II) 得以解决。

H. M. Choi *et al.*, Phys. Rev. D 89 (2014) no. 3, 033011;
- 形状因子是必不可少的非微扰输入参数。

标准和协变光前方法下  $P \rightarrow P, S, V, A$  过程张量形状因子的研究

理论框架

主要任务：

$$\mathcal{B} \equiv \langle M''(p'') | \bar{q}_1''(k_1'') \Gamma q_1'(k_1') | M'(p') \rangle, \quad \Gamma = \sigma_{\mu\nu}, \sigma_{\mu\nu}\gamma_5, \dots \quad (1)$$

The SLF QM :

矩阵元：

$$\begin{aligned} \mathcal{B}_{\text{SLF}} = & \sum_{h'_1, h''_1, h_2} \int \frac{dx d^2 k'_\perp}{(2\pi)^3 2x} \psi''^*(x, k''_\perp) \psi'(x, k'_\perp) S_{h''_1, h_2}^{''\dagger}(x, k''_\perp) \\ & \times C_{h''_1, h'_1}(x, k'_\perp, k''_\perp) S'_{h'_1, h_2}(x, k'_\perp), \end{aligned} \quad (2)$$

其中， $C_{h''_1, h'_1}(x, k'_\perp, k''_\perp) \equiv \bar{u}_{h''_1}(x, k''_\perp) \Gamma u_{h'_1}(x, k'_\perp)$ ；

标准和协变光前方法下  $P \rightarrow P, S, V, A$  过程张量形状因子的研究

理论框架

径向波函数  $\psi(x, \mathbf{k}_\perp)$ :

$$\psi_s(x, \mathbf{k}_\perp) = 4 \frac{\pi^{\frac{3}{4}}}{\beta^{\frac{3}{2}}} \sqrt{\frac{\partial k_z}{\partial x}} \exp \left[ -\frac{k_z^2 + \mathbf{k}_\perp^2}{2\beta^2} \right], \quad (3)$$

$$\psi_p(x, \mathbf{k}_\perp) = \frac{\sqrt{2}}{\beta} \psi_s(x, \mathbf{k}_\perp), \quad (4)$$

自旋轨道波函数  $S_{h_1, h_2}(x, \mathbf{k}_\perp)$ : Phys. Rev. D 41 (1990) 3405; Phys. Rev. D 69 (2004) 074025;

$$S_{h_1, h_2} = \frac{\bar{u}(k_1, h_1)\Gamma_M v(k_2, h_2)}{\sqrt{2}\hat{M}_0}, \quad (5)$$

其中,  $\hat{M}_0^2 = M_0^2 - (m_1 - m_2)^2$ ;  $P, S, V$  和  $A$  介子的顶角算符  $\Gamma_M$ :

$$\begin{aligned} \Gamma_P &= \gamma_5, & \Gamma_S &= \frac{\hat{M}_0^2}{2\sqrt{3}M_0}, & \Gamma_V &= -\not{v} + \frac{\hat{\epsilon} \cdot (k_1 - k_2)}{D_{V, LF}}, \\ \Gamma_{1A} &= -\frac{1}{D_{1, LF}} \hat{\epsilon} \cdot (k_1 - k_2) \gamma_5, & \Gamma_{3A} &= -\frac{\hat{M}_0^2}{2\sqrt{2}M_0} \left[ \not{v} + \frac{\hat{\epsilon} \cdot (k_1 - k_2)}{D_{3, LF}} \right] \gamma_5, \end{aligned} \quad (6)$$

其中,  $D_{V, LF} = M_0 + m_1 + m_2$ ,  $D_{1, LF} = 2$ ,  $D_{3, LF} = \hat{M}_0^2 / (m_1 - m_2)$

标准和协变光前方法下  $P \rightarrow P, S, V, A$  过程张量形状因子的研究

理论框架

## The CLF QM :

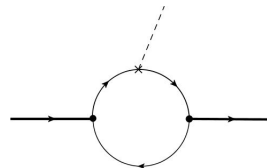


Figure: 矩阵元  $\mathcal{B}$  费曼图

矩阵元:

$$\mathcal{B}_{\text{CLF}} = N_c \int \frac{d^4 k'_1}{(2\pi)^4} \frac{H_{M'} H_{M''}}{N'_1 N''_1 N_2} i \mathbf{S} \cdot (E_{M'} E_{M''}^*) , \quad (7)$$

其中,  $E_{P,S} = 1$ ,  $E_{V,A} = \epsilon_\mu$ ,

$$S = \text{Tr} \left[ \Gamma(k'_1 + m'_1) (i \Gamma_{M'}) (-k_2 + m_2) (i \gamma^0 \Gamma_{M''}^\dagger \gamma^0) (k''_1 + m''_1) \right] \quad (8)$$

$$i \Gamma_P = -i \gamma_5, \quad \Gamma_S = -i, \quad i \Gamma_V = i \left[ \gamma^\mu - \frac{(k_1 - k_2)^\mu}{D_{V,\text{con}}} \right], \quad i \Gamma_{1A} = i \frac{(k_1 - k_2)^\mu}{D_{1,\text{con}}} \gamma_5,$$

$$i \Gamma_{3A} = i \left[ \gamma^\mu + \frac{(k_1 - k_2)^\mu}{D_{3,\text{con}}} \right] \gamma_5, \quad D_{(V,1,3),\text{con}} = M + m_1 + m_2, 2, M^2/(m_1 - m_2) \quad (9)$$

标准和协变光前方法下  $P \rightarrow P, S, V, A$  过程张量形状因子的研究

理论框架

Manifestly covariant expression  $\xrightarrow{\text{integrating out } k^-}$  LF expression

对  $k_1'^-$  积分后，矩阵元  $\mathcal{B}$  的 LF 形式：

$$\hat{\mathcal{B}}_{\text{CLF}} = N_c \int \frac{dx d^2 \mathbf{k}'_\perp}{2(2\pi)^3} \frac{h_{M'} h_{M''}}{\bar{x} \hat{N}'_1 \hat{N}''_1} \hat{\mathcal{S}} \cdot (E_{M'} E_{M''}^*) . \quad (10)$$

应用 type-I, -II:

$$N_1 \rightarrow \hat{N}_1 = x(M^2 - M_0^2), \quad S \rightarrow \hat{S}, \quad (11)$$

$$\chi_M = H_M / N_1 \rightarrow h_M / \hat{N}_1, \quad D_{\text{con}} \rightarrow D_{\text{LF}} \quad (\text{type-I})$$

$$\chi_M = H_M / N_1 \rightarrow h_M / \hat{N}_1, \quad M \rightarrow M_0 \quad (\text{type-II}) . \quad (12)$$

标准和协变光前方法下  $P \rightarrow P, S, V, A$  过程张量形状因子的研究

理论框架

$P, S, V, A$  介子顶角的 LF 形式:

$$h_P/\hat{N} = h_V/\hat{N} = \frac{1}{\sqrt{2N_c}} \sqrt{\frac{\bar{x}}{x}} \frac{\psi_s}{\hat{M}_0}, \quad (13)$$

$$h_S/\hat{N} = \frac{1}{\sqrt{2N_c}} \sqrt{\frac{\bar{x}}{x}} \frac{\hat{M}'^2}{2\sqrt{3}M'_0} \frac{\psi_p}{\hat{M}_0}, \quad (14)$$

$$h_{1A}/\hat{N} = \frac{1}{\sqrt{2N_c}} \sqrt{\frac{\bar{x}}{x}} \frac{\psi_p}{\hat{M}_0}, \quad (15)$$

$$h_{3A}/\hat{N} = \frac{1}{\sqrt{2N_c}} \sqrt{\frac{\bar{x}}{x}} \frac{\hat{M}'^2}{2\sqrt{2}M'_0} \frac{\psi_p}{\hat{M}_0}. \quad (16)$$

处理夸克圈 Trace 需要的代换: Jaus, Phys. Rev. D 60 (1999) 054026;

H. Y. Cheng, Phys. Rev. D 69 (2004) 074025

$$\hat{k}'^\mu_1 \rightarrow P^\mu A_1^{(1)} + q^\mu A_2^{(1)} + \dots (\omega, \mathbf{C}_i^{(j)}),$$

$$k'_1 \hat{N}_2 \rightarrow q^\mu \left[ A_2^{(1)} Z_2 + \frac{q \cdot P}{q^2} A_1^{(2)} \right], \quad (17)$$

## Outline

标准和协变光前方法下  $P \rightarrow P, S, V, A$  过程张量形状因子的研究

理论框架

$$\hat{k}'^\mu \hat{k}'^\nu \rightarrow g^{\mu\nu} A_1^{(2)} + P^\mu P^\nu A_2^{(2)} + (P^\mu q^\nu + q^\mu P^\nu) A_3^{(2)} + q^\mu q^\nu A_4^{(2)} \\ + \frac{P^\mu \omega^\nu + \omega^\mu P^\nu}{\omega \cdot P} B_1^{(2)} + \dots (\omega, C_i^{(j)}) ,$$

$$\hat{k}'^\mu \hat{k}'^\nu \hat{N}_2 \rightarrow g^{\mu\nu} A_1^{(2)} Z_2 + q^\mu q^\nu \left( A_4^{(2)} Z_2 + 2 \frac{q \cdot P}{q^2} A_2^{(1)} A_1^{(2)} \right) \\ + \frac{P^\mu \omega^\nu + \omega^\mu P^\nu}{\omega \cdot P} B_3^{(3)} + \dots (\omega, C_i^{(j)}) ,$$

.....

其中,  $P = p' + p''$ ,  $q = p' - p''$ ,  $A$  和  $B$ :

$$A_1^{(1)} = \frac{x}{2}, \quad A_2^{(1)} = \frac{x}{2} - \frac{\mathbf{k}'_{1\perp} \cdot \mathbf{q}_{\perp}}{q^2},$$

$$A_1^{(2)} = -\mathbf{k}'_{1\perp}^2 - \frac{(\mathbf{k}'_{1\perp} \cdot \mathbf{q}_{\perp})^2}{q^2}, \quad A_2^{(2)} = (A_1^{(1)})^2$$

$$A_3^{(2)} = A_1^{(1)} A_2^{(1)}, \quad A_4^{(2)} = (A_2^{(1)})^2 - \frac{1}{q^2} A_1^{(2)}, \quad B_1^{(2)} = \frac{x}{2} Z_2 + \frac{k_\perp^2}{2},$$

$$Z_2 = \hat{N}'_1 + m_1'^2 - m_2^2 + (\bar{x} - x) M'^2 + (q^2 + q \cdot P) \frac{\mathbf{k}'_{1\perp} \cdot \mathbf{q}_{\perp}}{q^2}, \quad (18)$$

标准和协变光前方法下  $P \rightarrow P, S, V, A$  过程张量形状因子的研究

数值结果与分析

## $P \rightarrow P, S:$

$P \rightarrow P, S$  过程张量形状因子的定义：

$$\langle P''(p'') | \bar{q}_1'' \sigma^{\mu\nu} q_1' | P'(p') \rangle = i(P^\mu q^\nu - P^\nu q^\mu) \frac{F_T(q^2)}{M' + M''}, \quad (19)$$

$$\langle S''(p'') | \bar{q}_1'' \sigma^{\mu\nu} \gamma_5 q_1' | P'(p') \rangle = i(P^\mu q^\nu - P^\nu q^\mu) \frac{U_T(q^2)}{M' + M''}, \quad (20)$$

理论结果：

$$\tilde{F}_T^{\text{SLF}} = -\frac{2(M' + M'')(m'_1 \mathbf{k}_\perp'' \cdot \mathbf{q}_\perp - m''_1 \mathbf{k}_\perp' \cdot \mathbf{q}_\perp - x m_2 \mathbf{q}_\perp^2)}{\mathbf{q}_\perp^2}, \quad (21)$$

$$\tilde{F}_T^{\text{CLF}} = 2(M' + M'') \left[ m'_1 - (m'_1 + m''_1 - 2m_2) A_1^{(1)} - (m'_1 - m''_1) A_2^{(1)} \right], \quad (22)$$

$$\tilde{F}_T^{\text{val.}} = \tilde{F}_T^{\text{CLF}}, \quad (23)$$

$$\tilde{U}_T^{\text{SLF}} = \frac{\hat{M}_0'^2}{2\sqrt{3}M_0''} \tilde{F}_T^{\text{SLF}} [m''_1 \rightarrow -m''_1], \quad (24)$$

$$\tilde{U}_T^{\text{CLF}} = \tilde{F}_T^{\text{CLF}} [m''_1 \rightarrow -m''_1], \quad (25)$$

$$\tilde{U}_T^{\text{val.}} = \tilde{U}_T^{\text{CLF}}. \quad (26)$$

└ 标准和协变光前方法下  $P \rightarrow P, S, V, A$  过程张量形状因子的研究

└ 数值结果与分析

对于  $P \rightarrow P, S$  过程的张量形状因子  $\mathcal{O} = F_T(q^2), U_T(q^2)$ :

- 没有自洽性问题;
- 没有 zero-mode 效应;
- $[\mathcal{O}]_{\text{SLF}} = [\mathcal{O}]_{\text{val.}} = [\mathcal{O}]_{\text{CLF}} = [\mathcal{O}]_{\text{full}}$ 。

标准和协变光前方法下  $P \rightarrow P, S, V, A$  过程张量形状因子的研究

数值结果与分析

**P → V, A:**

$P \rightarrow V$  过程张量形状因子的定义:

$$\langle V(p'', \epsilon) | \bar{q}_1'' \sigma^{\mu\nu} q_\nu \ q_1' | P(p') \rangle = \varepsilon^{\mu\nu\alpha\beta} \epsilon_\nu^* P_\alpha q_\beta T_1(q^2), \quad (27)$$

$$\begin{aligned} \langle V(p'', \epsilon) | \bar{q}_1'' \sigma^{\mu\nu} \gamma_5 q_\nu \ q_1' | P(p') \rangle &= -i \left[ (M'^2 - M''^2) \epsilon^{\mu*} - \epsilon^* \cdot q P^\mu \right] T_2(q^2) \\ &\quad - i \epsilon^* \cdot q \left[ q^\mu - \frac{q^2}{M'^2 - M''^2} P^\mu \right] T_3(q^2), \end{aligned} \quad (28)$$

$P \rightarrow A$  过程张量形状因子的定义:

$$\langle {}^i A(p'', \epsilon) | \bar{q}_1'' \sigma^{\mu\nu} \gamma_5 q_\nu \ q_1' | P(p') \rangle = -\varepsilon^{\mu\nu\alpha\beta} \epsilon_\nu^* P_\alpha q_\beta T_1^{(i)}(q^2), \quad (29)$$

$$\begin{aligned} \langle {}^i A(p'', \epsilon) | \bar{q}_1'' \sigma^{\mu\nu} q_\nu \ q_1' | P(p') \rangle &= i \left[ (M'^2 - M''^2) \epsilon^{\mu*} - \epsilon^* \cdot q P^\mu \right] T_2^{(i)}(q^2) \\ &\quad + i \epsilon^* \cdot q \left[ q^\mu - \frac{q^2}{M'^2 - M''^2} P^\mu \right] T_3^{(i)}(q^2), \end{aligned} \quad (30)$$

标准和协变光前方法下  $P \rightarrow P, S, V, A$  过程张量形状因子的研究

数值结果与分析

## $P \rightarrow V$ 过程张量形状因子的理论结果: $\tilde{T}_{1,2,3}$

$$\begin{aligned}\tilde{T}_1^{\text{SLF}} = & \frac{1}{(M'^2 - M''^2 + \mathbf{q}_\perp^2)} \frac{1}{x\bar{x}} \left\{ 2x(xm_2 + \bar{x}m'_1)(xm_2 + \bar{x}m''_1)(M'^2 - M''^2) \right. \\ & + 2x^2(M'^2 - M''^2)\mathbf{k}'_\perp \cdot \mathbf{k}''_\perp + (xm_2 + \bar{x}m'_1)[xm_2 + \bar{x}(x - \bar{x})m'_1 + 2x\bar{x}m''_1] \mathbf{q}_\perp^2 \\ & - [2x^2m_2^2 + \bar{x}(x - \bar{x})m'^2_1 - \bar{x}m''^2_1]\mathbf{k}'_\perp \cdot \mathbf{q}_\perp \\ & + 2(\bar{x} - x)\mathbf{k}''_\perp \cdot \mathbf{q}_\perp \mathbf{k}'_\perp \cdot \mathbf{k}''_\perp + (1 - 2x\bar{x})\mathbf{k}'_\perp \cdot \mathbf{k}''_\perp \mathbf{q}_\perp^2 \\ & + \frac{2}{D_V''} \left[ x\bar{x}(M'^2 - M''^2) [(m'_1 + m''_1)\mathbf{k}'_\perp \cdot \mathbf{k}''_\perp - (xm_2 + \bar{x}m'_1)\mathbf{k}''_\perp \cdot \mathbf{q}_\perp] \right. \\ & - (m'_1 + m''_1)(\bar{x}m'_1 + xm_2)(\bar{x}m''_1 - xm_2)\mathbf{k}''_\perp \cdot \mathbf{q}_\perp \\ & + \bar{x}(xm_2 + \bar{x}m'_1)(\mathbf{k}''_\perp \cdot \mathbf{q}_\perp)^2 - x\bar{x}(m'_1 + m''_1)(\mathbf{k}'_\perp \cdot \mathbf{q}_\perp)^2 + x\bar{x}(m'_1 + m''_1)\mathbf{k}'_\perp^2 \mathbf{q}_\perp^2 \\ & \left. + (x - \bar{x})(m'_1 + m''_1)\mathbf{k}''_\perp \cdot \mathbf{q}_\perp \mathbf{k}'_\perp \cdot \mathbf{k}''_\perp - \bar{x}(\bar{x}m''_1 - xm_2)\mathbf{k}'_\perp \cdot \mathbf{q}_\perp \mathbf{k}''_\perp \cdot \mathbf{q}_\perp \right\},\end{aligned}$$

$$\tilde{T}_2^{\text{SLF}} = \tilde{T}_1^{\text{SLF}} + \frac{q^2}{(M'^2 - M''^2)(M'^2 - M''^2 + \mathbf{q}_\perp^2)} \frac{1}{x^2\bar{x}} \{ \dots \},$$

$$\tilde{T}_3^{\text{SLF}} = \frac{M'^2 - M''^2}{q^2} [\tilde{T}_1^{\text{SLF}} - \tilde{T}_2^{\text{SLF}}] + \frac{2(M'^2 - M''^2)}{x\bar{x}(M'^2 - M''^2 + \mathbf{q}_\perp^2)} \frac{1}{\mathbf{q}_\perp^2} \{ \dots \},$$

## Outline

标准和协变光前方法下  $P \rightarrow P, S, V, A$  过程张量形状因子的研究

数值结果与分析

$$\begin{aligned}\tilde{T}_1^{\text{val.}} &= \frac{1}{\bar{x}(M'^2 - M''^2 + \mathbf{q}_\perp^2)} \left\{ -2\mathbf{k}'_\perp \cdot \mathbf{q}_\perp \mathbf{k}''_\perp^2 + \mathbf{k}'_\perp \cdot \mathbf{k}''_\perp \mathbf{q}_\perp^2 - \bar{x}(2x - 1)\mathbf{k}''_\perp \cdot \mathbf{q}_\perp M'^2 \right. \\ &\quad + 2\bar{x} [m'_1 m''_1 - x(m'_1 - m_2)(m''_1 - m_2)] (M'^2 - M''^2 + \mathbf{q}_\perp^2) + m_2^2 \mathbf{q}_\perp^2 \\ &\quad + 2x(M'^2 - M''^2)(\mathbf{k}'_\perp \cdot \mathbf{k}''_\perp + m_2^2) + \mathbf{k}'_\perp \cdot \mathbf{q}_\perp (\bar{x}M''^2 - 2m_2^2) \\ &\quad + \frac{2}{D''_{V,\text{con}}} (m'_1 + m''_1) [\mathbf{k}'_\perp \cdot \mathbf{q}_\perp \mathbf{k}''_\perp^2 + \mathbf{k}''_\perp \cdot \mathbf{q}_\perp (m_2^2 - \bar{x}^2 M'^2) \\ &\quad \left. + \bar{x}\mathbf{k}'_\perp \cdot \mathbf{k}''_\perp (M'^2 - M''^2)] \right\}, \\ \tilde{T}_2^{\text{val.}} &= \tilde{T}_1^{\text{val.}} - \frac{q^2}{(M'^2 - M''^2)(M'^2 - M''^2 + \mathbf{q}_\perp^2)} \frac{1}{\bar{x}} \{ \dots \}, \\ \tilde{T}_3^{\text{val.}} &= \frac{M'^2 - M''^2}{q^2} [\tilde{T}_1^{\text{val.}} - \tilde{T}_2^{\text{val.}}] + \frac{2(M'^2 - M''^2)}{\bar{x}(M'^2 - M''^2 + \mathbf{q}_\perp^2) \mathbf{q}_\perp^2} \{ \dots \}, \quad (32)\end{aligned}$$

└ 标准和协变光前方法下  $P \rightarrow P, S, V, A$  过程张量形状因子的研究

└ 数值结果与分析

$$\begin{aligned}
 \tilde{T}_1^{\text{CLF}} = & (2\bar{x} - 1) \left( m_1'^2 + \hat{N}_1' \right) + m_1''^2 + \hat{N}_1'' + \mathbf{q}_\perp^2 \\
 & + 2 \left( \bar{x} m_1' m_1'' + x m_1' m_2 + x m_1'' m_2 \right) \\
 & - 8A_1^{(2)} + 2 \left( M'^2 - M''^2 \right) \left( A_1^{(1)} + 2A_2^{(2)} - 2A_3^{(2)} \right) \\
 & + 2\mathbf{q}_\perp^2 \left( A_1^{(1)} - 2A_2^{(1)} - 2A_3^{(2)} + 2A_4^{(2)} \right) - \frac{4}{D_{V,\text{con}}''} (m_1' + m_1'') A_1^{(2)}, \\
 \tilde{T}_2^{\text{CLF}} = & \cdots, \\
 \tilde{T}_3^{\text{CLF}} = & \cdots.
 \end{aligned} \tag{33}$$

└ 标准和协变光前方法下  $P \rightarrow P, S, V, A$  过程张量形状因子的研究

└ 数值结果与分析

$P \rightarrow^1 A$  过程张量形状因子的理论结果:  $\tilde{T}_{1,2,3}^{(1)}$

$$\tilde{T}_{1,2,3}^{(1),\text{SLF}} = \tilde{T}_{1,2,3}^{\text{SLF}} [D''\text{-terms only}, D_V'' \rightarrow D_1'', m_1'' \rightarrow -m_1''] ,$$

$$\tilde{T}_{1,2,3}^{(1),\text{val.}} = \tilde{T}_{1,2,3}^{\text{val.}} [D''\text{-terms only}, D_{V,\text{con}}'' \rightarrow D_{1,\text{con}}'', m_1'' \rightarrow -m_1''] ,$$

$$\tilde{T}_{1,2,3}^{(1),\text{CLF}} = \tilde{T}_{1,2,3}^{\text{CLF}} [D''\text{-terms only}, D_{V,\text{con}}'' \rightarrow D_{1,\text{con}}'', m_1'' \rightarrow -m_1''] . \quad (34)$$

$P \rightarrow^3 A$  过程张量形状因子的理论结果:  $\tilde{T}_{1,2,3}^{(3)}$

$$\tilde{T}_{1,2,3}^{(3),\text{SLF}} = \frac{\hat{M}_0''^2}{2\sqrt{2}M_0''} \tilde{T}_{1,2,3}^{\text{SLF}} [D_V'' \rightarrow D_3'', m_1'' \rightarrow -m_1''] ,$$

$$\tilde{T}_{1,2,3}^{(3),\text{Val.}} = \tilde{T}_{1,2,3}^{\text{Val.}} [D_{V,\text{con}}'' \rightarrow D_{3,\text{con}}'', m_1'' \rightarrow -m_1''] ,$$

$$\tilde{T}_{1,2,3}^{(3),\text{CLF}} = \tilde{T}_{1,2,3}^{\text{CLF}} [D_{V,\text{con}}'' \rightarrow D_{3,\text{con}}'', m_1'' \rightarrow -m_1''] . \quad (35)$$

标准和协变光前方法下  $P \rightarrow P, S, V, A$  过程张量形状因子的研究

数值结果与分析

## CLF QM的自洽性:

$P \rightarrow V$  张量形状因子  $T_1$  的  $B$  函数相关贡献:

$$\begin{aligned} \tilde{B}_B^\mu(\Gamma = \sigma^{\mu\nu} q_\nu) = & 4 \frac{B_1^{(2)}}{\omega \cdot P} \left[ -\epsilon^{\delta\nu\alpha\beta} P_\delta q_\nu \omega_\alpha \epsilon_\beta^* P^\mu + \epsilon^{\mu\nu\alpha\beta} P_\nu \omega_\alpha \epsilon_\beta^* (M'^2 - M''^2) \right. \\ & \left. + \epsilon^{\mu\nu\alpha\beta} q_\nu \omega_\alpha \epsilon_\beta^* (M'^2 - M''^2) - \epsilon^{\mu\nu\alpha\beta} P_\nu q_\alpha \omega_\beta (q \cdot \epsilon^*) \frac{m'_1 + m''_1}{D''_{V,\text{con}}} \right], \end{aligned} \quad (36)$$

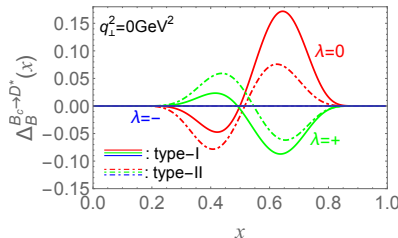
$$\tilde{T}_1^B = \begin{cases} \left[ -2(M'^2 - M''^2) + (M'^2 - M''^2 + \mathbf{q}_\perp^2) \frac{m'_1 + m''_1}{D''_{V,\text{con}}} \right] \frac{1}{M''^2} B_1^{(2)}, & \lambda = 0 \\ \left[ 2(M'^2 - M''^2) - \mathbf{q}_\perp^2 \frac{m'_1 + m''_1}{D''_{V,\text{con}}} \right] \frac{2}{M'^2 - M''^2 + \mathbf{q}_\perp^2} B_1^{(2)}, & \lambda = + \\ \left[ 1 + \frac{m'_1 + m''_1}{D''_{V,\text{con}}} \right] \frac{2\mathbf{q}_\perp^2}{M'^2 - M''^2 + \mathbf{q}_\perp^2} B_1^{(2)}. & \lambda = - \end{cases} \quad (37)$$

Table:  $B_c \rightarrow D^*$  过程的张量形状因子  $T_1(\mathbf{q}_\perp^2)$  在  $\mathbf{q}_\perp^2$  取不同值时的数值结果

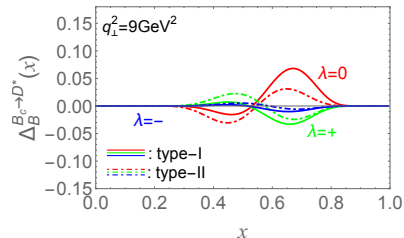
$B_c \rightarrow D^*$		$[T_1]^{\text{SLF}}$	$[T_1]^{\text{val.}}$	$[T_1]^{\text{CLF}}$	$[T_1]_{\lambda=0}^{\text{full}}$	$[T_1]_{\lambda=+}^{\text{full}}$	$[T_1]_{\lambda=-}^{\text{full}}$
$\mathbf{q}_\perp^2 = 0 \text{ GeV}^2$	type-I	0.106	0.106	0.094	0.118	0.081	0.094
	type-II	0.106	0.106	0.106	0.106	0.106	0.106
$\mathbf{q}_\perp^2 = 4 \text{ GeV}^2$	type-I	0.072	0.072	0.063	0.079	0.055	0.062
	type-II	0.073	0.073	0.073	0.073	0.073	0.073
$\mathbf{q}_\perp^2 = 9 \text{ GeV}^2$	type-I	0.046	0.045	0.040	0.049	0.035	0.038
	type-II	0.047	0.047	0.047	0.047	0.047	0.047

标准和协变光前方法下  $P \rightarrow P, S, V, A$  过程张量形状因子的研究

数值结果与分析



(a)



(b)

Figure:  $B_c \rightarrow D^*$  跃迁过程的  $\Delta_B(x)$ - $x$  关系图

$$\text{定义: } \Delta_B(x) \equiv \frac{d[\mathcal{F}]_\lambda^B}{dx} = N_c \int \frac{d^2 k'_\perp}{2(2\pi)^3} \frac{\chi'_V \chi''_V}{\bar{x}} \tilde{\mathcal{F}}_\lambda^B$$

标准和协变光前方法下  $P \rightarrow P, S, V, A$  过程张量形状因子的研究

数值结果与分析

对于  $P \rightarrow V, A$  过程张量形状因子  $\mathcal{O} = T_{1,2,3}(q^2), T_{1,2,3}^{(1,2)}(q^2)$ :

- 在type-I方案中:  $N_c \int \frac{dx d^2\mathbf{k}'_\perp}{2(2\pi)^3} \frac{\chi'_V \chi''_V}{\bar{x}} \tilde{\mathcal{B}}_B \neq 0$

$$\Rightarrow [\mathcal{Q}]_{\lambda=0}^{\text{full}} \neq [\mathcal{Q}]_{\lambda=+}^{\text{full}} \neq [\mathcal{Q}]_{\lambda=-}^{\text{full}}, \quad (\text{type-I}) \quad (38)$$

- 在type-II方案中:  $N_c \int \frac{dx d^2\mathbf{k}'_\perp}{2(2\pi)^3} \frac{\chi'_V \chi''_V}{\bar{x}} \tilde{\mathcal{B}}_B = 0$

$$\Rightarrow [\mathcal{Q}]_{\lambda=0}^{\text{full}} \doteq [\mathcal{Q}]_{\lambda=+}^{\text{full}} \doteq [\mathcal{Q}]_{\lambda=-}^{\text{full}} \quad (\text{type-II}) \quad (39)$$

标准和协变光前方法下  $P \rightarrow P, S, V, A$  过程张量形状因子的研究

数值结果与分析

## CLF QM的协变性:

$P \rightarrow V$  张量形状因子  $T_{2,3}$  的  $B$  函数相关贡献:

$$\begin{aligned} \tilde{\mathcal{B}}_B^{\mu}(\Gamma = \sigma^{\mu\nu}\gamma_5 q_\nu) = & 4i \frac{B_1^{(2)}}{\omega \cdot P} \left\{ -P^\mu(\omega \cdot \epsilon^*)q^2 \left( 1 + \frac{m'_1 - m''_1 - 2m_2}{D''_{V,\text{con}}} \right) \right. \\ & + q^\mu(\omega \cdot \epsilon^*)(M'^2 - M''^2) \left( 1 + \frac{m'_1 - m''_1 - 2m_2}{D''_{V,\text{con}}} \right) \\ & - \cancel{\omega^\mu}(q \cdot \epsilon^*) \left[ q^2 \left( 1 + \frac{m'_1 - m''_1 - 2m_2}{D''_{V,\text{con}}} \right) \right. \\ & \left. \left. + (M'^2 - M''^2) \left( 1 + \frac{m'_1 - m''_1}{D''_{V,\text{con}}} \right) \right] \right\}. \end{aligned} \quad (40)$$

- type-I: 张量算符矩阵元的协变性被破坏。
- type-II: 协变性问题得以解决。

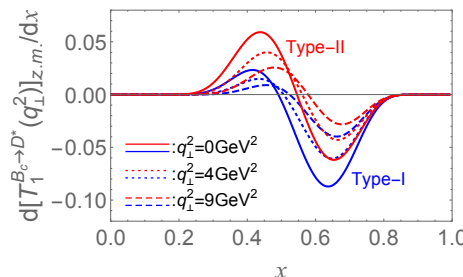
——标准和协变光前方法下  $P \rightarrow P, S, V, A$  过程张量形状因子的研究

## └ 数值结果与分析

**zero-mode**贡献:

$P \rightarrow V, A$ 过程的张量形状因子受到zero-mode贡献的影响:

$$[\mathcal{F}]^{\text{CLF}} = [\mathcal{F}]^{\text{val.}} + [\mathcal{F}]^{\text{z.m.}} \quad (41)$$



$$[\mathcal{Q}]^{\text{z.m.}} \neq 0 \quad (\text{type-I}), \quad [\mathcal{Q}]^{\text{z.m.}} = 0 \quad (\text{type-II}) \quad (42)$$

标准和协变光前方法下  $P \rightarrow P, S, V, A$  过程张量形状因子的研究

数值结果与分析

## CLF QM “新” 的自洽性问题:

H. Y Cheng and C. K. Chua, Phys. Rev. D 81 (2010) 114006;

$P \rightarrow V$  过程张量形状因子:  $T_1^{\text{our}} = T_1^{\text{CC}}$ ,  $T_{2,3}^{\text{our}} \neq T_{2,3}^{\text{CC}}$  (type-I)

原因: 对矩阵元  $\mathcal{B}_{\text{CLF}}^{P \rightarrow V} [\Gamma = \sigma^{\mu\nu} \gamma_5]$  中的夸克圈求迹部分  $S^{\mu\nu\lambda}$  的处理方式不同。

以其中一项为例:  $[S_\lambda^{\mu\nu}]_{\text{last term}} = -2i\varepsilon^{\mu\nu\rho\sigma}\varepsilon_{\sigma\lambda\alpha\beta} k'_{1\rho} k'_1 \alpha(P + q)^\beta$

恒等式:

$$\varepsilon^{\mu\nu\rho\sigma}\varepsilon_{\sigma\lambda\alpha\beta} = [g_\lambda^\mu(g_\alpha^\nu g_\beta^\rho - g_\alpha^\rho g_\beta^\nu) + \cancel{g}_\lambda^\nu(g_\alpha^\rho g_\beta^\mu - \cancel{g}_\alpha^\mu \cancel{g}_\beta^\rho) + g_\lambda^\rho(g_\alpha^\mu g_\beta^\nu - g_\alpha^\nu g_\beta^\mu)],$$

$$\begin{aligned} [\hat{S}_\lambda^{\mu\nu}]_{\text{last term}}^{\text{CC}} &= 2i\cancel{g}_\lambda^\nu \cancel{g}_\alpha^\mu \cancel{g}_\beta^\rho [g_\rho^\alpha A_1^{(2)} + P^\alpha P_\rho A_2^{(2)} + (P_\rho q^\alpha + q_\rho P^\alpha) A_3^{(2)} \\ &\quad + q^\alpha q_\rho A_4^{(2)}] (P + q)^\beta + \dots \end{aligned} \quad (43)$$

$$\begin{aligned} [S_\lambda^{\mu\nu}]_{\text{last term}}^{\text{ours}} &= -2i\cancel{g}_\lambda^\nu k'_1 \cdot (P + q) + \dots \\ &= -2i\cancel{g}_\lambda^\nu k'_1 (M'^2 + m_1'^2 + m_1'^2 - m_2^2 - N_2 + N_1') + \dots, \end{aligned} \quad (44)$$

标准和协变光前方法下  $P \rightarrow P, S, V, A$  过程张量形状因子的研究

数值结果与分析

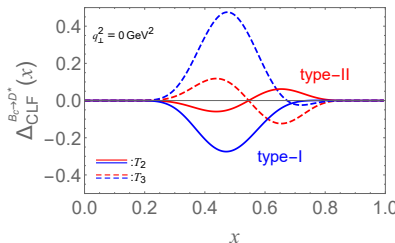
$$\begin{aligned} [\hat{S}_\lambda^{\mu\nu}]_{\text{last term}}^{\text{CC}} = & 2ig_\lambda^\nu \left\{ P^\mu \left[ A_1^{(2)} + (3M'^2 - M''^2 - q^2)A_2^{(2)} + (M'^2 - M''^2 + q^2)A_3^{(2)} \right] \right. \\ & + q^\mu \left[ A_1^{(2)} + (3M'^2 - M''^2 - q^2)A_3^{(2)} + (M'^2 - M''^2 + q^2)A_4^{(2)} \right] \} \\ & + \dots, \end{aligned} \quad (45)$$

$$\begin{aligned} [\hat{S}_\lambda^{\mu\nu}]_{\text{last term}}^{\text{ours}} = & 2ig_\lambda^\nu \left\{ P^\mu \left( M'^2 + m_1'^2 - m_2^2 + \hat{N}'_1 \right) A_1^{(1)} \right. \\ & + q^\mu \left[ \left( M'^2 + m_1'^2 - m_2^2 + \hat{N}'_1 - Z_2 \right) A_2^{(1)} - \frac{M'^2 - M''^2}{q^2} A_1^{(2)} \right] \} + \dots. \end{aligned} \quad (46)$$

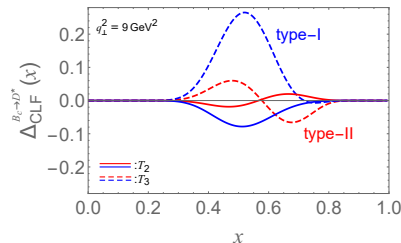
标准和协变光前方法下  $P \rightarrow P, S, V, A$  过程张量形状因子的研究

数值结果与分析

$$\text{定义: } \Delta_{\text{CLF}}^{\mathcal{F}}(x, \mathbf{q}_\perp^2) \equiv \frac{d[\mathcal{F}]_{\text{ours}}^{\text{CLF}}}{dx} - \frac{d[\mathcal{F}]_{\text{CC}}^{\text{CLF}}}{dx}, \quad \mathcal{F} = T_2 \text{ and } T_3$$



(a)



(b)

Figure:  $B_c \rightarrow D^*$  过程的  $\Delta_{\text{CLF}}^{T_{2,3}}(x)$ - $x$  关系图

标准和协变光前方法下  $P \rightarrow P, S, V, A$  过程张量形状因子的研究

数值结果与分析

- $[T_{2,3}]_{\text{ours}}^{\text{CLF}} - [T_{2,3}]_{\text{CC}}^{\text{CLF}} = \int_0^1 dx \Delta_{\text{CLF}}^{T_{2,3}}(x) \neq 0 \quad (\text{type-I})$

$$\Rightarrow [T_{2,3}]_{\text{ours}}^{\text{CLF}} \neq [T_{2,3}]_{\text{CC}}^{\text{CLF}} \quad \text{“新”的自治性问题}$$

- $[T_{2,3}]_{\text{ours}}^{\text{CLF}} - [T_{2,3}]_{\text{CC}}^{\text{CLF}} = \int_0^1 dx \Delta_{\text{CLF}}^{T_{2,3}}(x) = 0 \quad (\text{type-II})$

$$\Rightarrow [T_{2,3}]_{\text{ours}}^{\text{CLF}} = [T_{2,3}]_{\text{CC}}^{\text{CLF}} \quad \text{数值结果自治}$$

- $P \rightarrow A$  跃迁的张量形状因子也存在与之类似的“新”的自治性问题。

## 小结：

- 传统CLF QM的自治性和协变性问题有相同根源，均可以通过type-II方案得以解决。
- 在type-II方案中，zero-mode对介子衰变的张量形状因子的数值结果没有贡献。
- $[\mathcal{Q}]^{\text{SLF}} = [\mathcal{Q}]^{\text{val.}} \doteq [\mathcal{Q}]^{\text{CLF}}$  (type-II);
- 在传统CLF QM中，对于  $\mathcal{B}(\sigma^{\mu\nu}\gamma_5)$ ，在计算中处理夸克圈trace的方案不同也会导致一个“新的”自治性问题。该问题同样可以通过type-II得以解决。

└  $b \rightarrow c\ell^-\bar{\nu}_\ell$  引起的矢量介子半轻衰变的研究

└ 研究动机

## $B^*$ 介子的性质:

Table:  $B$  和  $B^*$  介子的质量(GeV)

介子	质量	介子	质量
$B^-$	5.279	$B^{*-}$	5.325
$B^0$	5.280	$B^{*0}$	5.325
$B_s^0$	5.367	$B_s^{*0}$	5.415
$B_c^-$	6.275	$B_c^{*-}$	5.332

- $B_{u,d,s,c}^*$  的量子数:  
 $n^{2s+1}L_J = 1^3S_1$  和  $J^P = 1^-$ ;
- $B_q^*$  和  $B_q$  的夸克组分完全相同;
- $\Delta_m = m_{B_q^*} - m_{B_q} \lesssim 50\text{MeV} < m_\pi$
- $B_q^*$  介子衰变以  $B_q^* \rightarrow B_q\gamma$  过程为主

└  $b \rightarrow c\ell^-\bar{\nu}_\ell$  引起的矢量介子半轻衰变的研究

└ 研究动机

## Υ( $nS$ )介子的性质:

- Υ( $nS$ )介子是位于 $B\bar{B}$ 阈值下的底夸克偶素粒子。
- Υ( $nS$ )介子的量子数:  $I^G J^{PC} = 0^- 1^{--}$ 。
- Υ( $nS$ )介子主要是通过强相互作用和电磁相互作用的过程发生衰变。

$$\mathcal{B}(\Upsilon(1S) \rightarrow ggg) = (81.7 \pm 0.7)\%$$

- └  $b \rightarrow c\ell^-\bar{\nu}_\ell$  引起的矢量介子半轻衰变的研究
- └ 研究动机

## Belle-II

1 年积分亮度的目标~  
 $13ab^{-1}$ 。

2 生成截面:  $\sigma(e^+e^- \rightarrow \Upsilon(5S)) = 0.301nb$ 。

3 每年将会  
 有  $4 \times 10^9 (B_{u,d}^* + \bar{B}_{u,d}^*)$ ,  
 $2 \times 10^9 (B_s^* + \bar{B}_s^*)$ 。

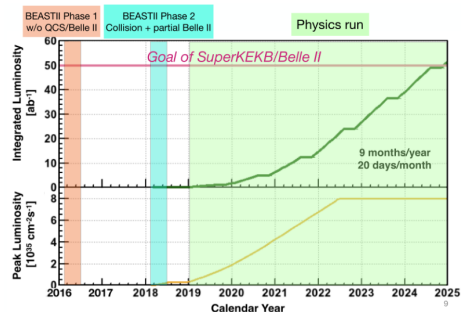


Figure: Belle-II 的运行状态

## Outline

└  $b \rightarrow c\ell^-\bar{\nu}_\ell$  引起的矢量介子半轻衰变的研究

└ 研究动机

LHC

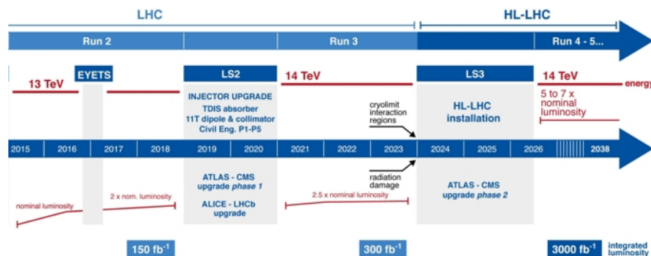


Figure: LHC 的运行状态

相比于  $e^+e^-$  的对撞,  $pp$  的对撞截面要大很多, 相应地, 在 LHC 上收集到的  $b\bar{b}$  数据要更大。

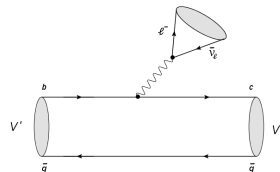


Figure: 费曼图

在SM中，通过  $b \rightarrow c\ell^-\bar{\nu}_\ell$  过程引起的  $V' \rightarrow V''\ell^-\bar{\nu}_\ell$  的低能有效哈密顿量为：

$$\mathcal{H}_{\text{eff}}(b \rightarrow c\ell^-\bar{\nu}_\ell) = \frac{G_F}{\sqrt{2}} V_{cb} [\bar{c}\gamma_\mu(1-\gamma_5)b][\bar{\ell}\gamma^\mu(1-\gamma_5)\nu_\ell], \quad (47)$$

$V' \rightarrow V''\ell^-\bar{\nu}_\ell$  半轻衰变振幅的模方：

$$\begin{aligned} |\mathcal{M}(V' \rightarrow V''\ell^-\bar{\nu}_\ell)|^2 &= \frac{G_F^2 |V_{cb}|^2}{2} |\langle V'' | \bar{c}\gamma_\mu(1-\gamma_5)b | V' \rangle \bar{\ell}\gamma^\mu(1-\gamma_5)\nu_\ell|^2 \\ &\equiv \frac{G_F^2 |V_{cb}|^2}{2} L_{\mu\nu} H^{\mu\nu}, \end{aligned} \quad (48)$$

└  $b \rightarrow c\ell^-\bar{\nu}_\ell$  引起的矢量介子半轻衰变的研究

└ 理论框架与结果

插入完备性关系：

$$\sum_{m,n} \bar{\epsilon}_\mu(m) \bar{\epsilon}_\nu^*(n) g_{mn} = g_{\mu\nu}, \quad (49)$$

振幅的模方可以进一步表示为：

$$|\mathcal{M}(V' \rightarrow V'' \ell^- \bar{\nu}_\ell)|^2 = \frac{G_F^2 V_{cb}^2}{2} \sum_{m,m',n,n'} L(m, n) H(m', n') g_{mm'} g_{nn'}, \quad (50)$$

## 螺旋度展开的算法

- 在初态矢量介子的质心系中对强子部分完成计算
- 在末态轻子  $\ell - \bar{\nu}_\ell$  的质心系中对轻子部分完成计算
- 采用Wigner's  $d^J$  函数合并强子部分和轻子部分的螺旋度振幅，最终得到  $L_{\mu\nu} H^{\mu\nu}$

$b \rightarrow c\ell^-\bar{\nu}_\ell$ 引起的矢量介子半轻衰变的研究

理论框架与结果

## 强子螺旋度振幅：

$V' \rightarrow V''\ell^-\bar{\nu}_\ell$ 半轻衰变的强子螺旋度振幅  $H_{\lambda_{W^*}\lambda_{V'}\lambda_{V''}}$ , 其定义如下:

$$H_{\lambda_{W^*}\lambda_{V'}\lambda_{V''}} = H_\mu(\lambda_{V'}\lambda_{V''})\bar{\epsilon}^{*\mu}(\lambda_{W^*}) \quad (51)$$

其中,  $V' \rightarrow V''$  的强子矩阵元可以被参数化为:

$$\begin{aligned} \langle V''(\epsilon_2, p_{V''}) | \bar{c} \gamma_\mu b | \bar{V}'(\epsilon_1, p_{V'}) \rangle = & (\epsilon_1 \cdot \epsilon_2^*) [-P_\mu V_1(q^2) + q_\mu V_2(q^2)] \\ & + \frac{(\epsilon_1 \cdot q)(\epsilon_2^* \cdot q)}{m_{V'}^2 - m_{V''}^2} [P_\mu V_3(q^2) - q_\mu V_4(q^2)] \\ & - (\epsilon_1 \cdot q)\epsilon_{2\mu}^* V_5(q^2) + (\epsilon_2^* \cdot q)\epsilon_{1\mu} V_6(q^2), \end{aligned} \quad (52)$$

$$\begin{aligned} \langle V''(\epsilon_2, p_{V''}) | \bar{c} \gamma_\mu \gamma_5 b | \bar{V}'(\epsilon_1, p_{V'}) \rangle = & - i \varepsilon_{\mu\nu\alpha\beta} \epsilon_1^\alpha \epsilon_2^{*\beta} [P^\nu A_1(q^2) - q^\nu A_2(q^2)] \\ & - \frac{i \epsilon_2^* \cdot q}{m_{V'}^2 - m_{V''}^2} \varepsilon_{\mu\nu\alpha\beta} \epsilon_1^\nu P^\alpha q^\beta A_3(q^2) \\ & + \frac{i \epsilon_1 \cdot q}{m_{V'}^2 - m_{V''}^2} \varepsilon_{\mu\nu\alpha\beta} \epsilon_2^{*\nu} P^\alpha q^\beta A_4(q^2), \end{aligned} \quad (53)$$

我们可以得到10个非零的强子螺旋度振幅 $H_{\lambda_{W^*} \lambda_{V'} \lambda_{V''}}$  为:

$$\begin{aligned}
 H_{0++}(q^2) &= -\frac{m_{V'}^2 - m_{V''}^2}{\sqrt{q^2}} A_1(q^2) + \sqrt{q^2} A_2(q^2) + \frac{2m_{V'} |\vec{p}|}{\sqrt{q^2}} V_1(q^2), \\
 H_{t++}(q^2) &= -\frac{2m_{V'} |\vec{p}|}{\sqrt{q^2}} A_1(q^2) + \frac{m_{V'}^2 - m_{V''}^2}{\sqrt{q^2}} V_1(q^2) - \sqrt{q^2} V_2(q^2), \\
 H_{-+0}(q^2) &= -\frac{m_{V'}^2 + 3m_{V''}^2 - q^2}{2m_{V''}} A_1(q^2) + \frac{m_{V'}^2 - m_{V''}^2 - q^2}{2m_{V''}} A_2(q^2) + \dots \\
 &\dots \\
 H_{t00}(q^2) &= \frac{(m_{V'}^2 + m_{V''}^2 - q^2)(m_{V'}^2 - m_{V''}^2)}{2m_{V''} m_{V'} \sqrt{q^2}} V_1(q^2) - \dots \tag{54}
 \end{aligned}$$

事实上，尽管 $H_{\lambda_{W^*} \lambda_{V'} \lambda_{V''}}$ 有 $4 \times 3 \times 3 = 36$ 种不同的组合态，但当且仅当 $\lambda_{V'} = \lambda_{V''} - \lambda_{W^*}$  时，强子螺旋度振幅不为零

└  $b \rightarrow c\ell^-\bar{\nu}_\ell$  引起的矢量介子半轻衰变的研究

└ 理论框架与结果

$L_{\mu\nu} H^{\mu\nu}$ :

将轻子张量按照Wigner's  $d^J$ 函数展开,  $V' \rightarrow V''\ell^-\bar{\nu}_\ell$  半轻衰变  
中  $L_{\mu\nu} H^{\mu\nu}$  可以写为:

$$\begin{aligned} L_{\mu\nu} H^{\mu\nu} = & \frac{1}{8} \sum_{\substack{\lambda_\ell, \lambda_{\bar{\nu}_\ell}, J, J' \\ \lambda_{W^*}, \lambda'_{W^*}}} (-1)^{J+J'} |h_{\lambda_\ell, \lambda_{\bar{\nu}_\ell}}|^2 \delta_{\lambda_{V'}, \lambda_{V''} - \lambda_{W^*}} \delta_{\lambda_{V'}, \lambda_{V''} - \lambda'_{W^*}} \\ & \times d_{\lambda_{W^*}, \lambda_\ell - \frac{1}{2}}^J d_{\lambda'_{W^*}, \lambda_\ell - \frac{1}{2}}^{J'} H_{\lambda_{W^*} \lambda_{V'} \lambda_{V''}} H_{\lambda'_{W^*} \lambda_{V'} \lambda_{V''}}, \end{aligned} \quad (55)$$

- 1 主角动量指标  $J$  和  $J'$  遍取 1 和 0。
- 2  $\lambda'_{W^*, V', V''}$  遍取  $+1, -1$  和 0。
- 3  $\lambda_\ell$  指标遍取  $+\frac{1}{2}$  和  $-\frac{1}{2}$ 。
- 4  $\lambda_{\bar{\nu}_\ell}$  指标仅有  $+\frac{1}{2}$ 。

1 定义:

$$h_{\lambda_\ell, \lambda_{\bar{\nu}_\ell}} = \bar{u}_\ell(\lambda_\ell) \gamma^\mu (1 - \gamma_5) v_{\bar{\nu}}(\frac{1}{2}) \bar{\epsilon}_\mu(\lambda_{W^*})$$

$$2 |h_{-\frac{1}{2}, \frac{1}{2}}|^2 = 8(q^2 - m_\ell^2)$$

$$3 |h_{\frac{1}{2}, \frac{1}{2}}|^2 = 8 \frac{m_\ell^2}{2q^2} (q^2 - m_\ell^2)$$



## 双重微分宽度:

不同轻子螺旋态( $\lambda_\ell = \pm \frac{1}{2}$ )的  $V' \rightarrow V'' \ell^- \bar{\nu}_\ell$  半轻衰变的双重微分宽度:

$$\begin{aligned} \frac{d^2\Gamma[\lambda\ell = -1/2]}{dq^2 d\cos\theta} &= \frac{G_F^2 |V_{cb}|^2 |\vec{p}| \frac{1}{3}}{256\pi^3 m_{V'}^2} q^2 \left(1 - \frac{m_\ell^2}{q^2}\right)^2 \\ &\quad \times [(1 - \cos\theta)^2 (H_{+0+}^2 + H_{+-0}^2) + (1 + \cos\theta)^2 (H_{-0-}^2 + H_{-+0}^2) \\ &\quad + 2\sin^2\theta (H_{0++}^2 + H_{0--}^2 + H_{000}^2)], \\ \frac{d^2\Gamma[\lambda\ell = 1/2]}{dq^2 d\cos\theta} &= \frac{G_F^2 |V_{cb}|^2 |\vec{p}| \frac{1}{3}}{256\pi^3 m_{V'}^2} q^2 \left(1 - \frac{m_\ell^2}{q^2}\right)^2 \frac{m_\ell^2}{q^2} \\ &\quad \times [\sin^2\theta (H_{+0+}^2 + H_{+-0}^2 + H_{-0-}^2 + H_{-+0}^2) \\ &\quad + 2(H_{t++} - \cos\theta H_{0++})^2 + 2(H_{t--} - \cos\theta H_{0--})^2 \\ &\quad + 2(H_{t00} - \cos\theta H_{000})^2], \end{aligned} \tag{56}$$

式中  $\frac{1}{3}$  因子是对初态矢量介子的自旋求平均引入的。

└  $b \rightarrow c\ell^-\bar{\nu}_\ell$  引起的矢量介子半轻衰变的研究

└ 数值结果与分析

## (I) $\bar{B}^* \rightarrow V\ell\bar{\nu}_\ell$

$\Gamma_{\text{tot}}(B^*)$ :

在光前夸克模型中,  $B^* \rightarrow B\gamma$  衰变过程的宽度可以写为:

$$\begin{aligned}\Gamma(B^* \rightarrow B\gamma) &= \frac{\alpha}{3} [e_1 I(m_1, m_2, 0) + e_2 I(m_2, m_1, 0)]^2 \kappa_\gamma^3, \\ I(m_1, m_2, q^2) &= \int_0^1 \frac{dx}{8\pi^3} \int d^2\mathbf{k}_\perp \frac{\psi(x, \mathbf{k}'_\perp)\psi(x, \mathbf{k}_\perp)}{x\tilde{M}_0\tilde{M}'_0} \\ &\times \left\{ \mathcal{A} + \frac{2}{\mathcal{M}_0} \left[ \mathbf{k}_\perp^2 - \frac{(\mathbf{k}_\perp \cdot \mathbf{q}_\perp)^2}{\mathbf{q}_\perp^2} \right] \right\},\end{aligned}\quad (57)$$

其中  $\alpha$  是精细结构常数,  $\kappa_\gamma = (m_{B^*}^2 - m_B^2)^2 / 2m_{B^*}$  是发射光子的能量。

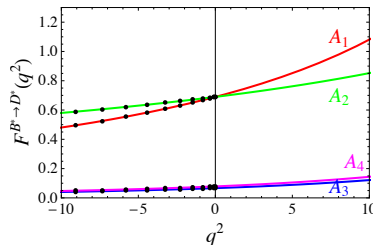
$$\Gamma_{\text{tot}}(B^{*+}) \simeq \Gamma(B^{*+} \rightarrow B^+\gamma) = (349 \pm 18)\text{eV},$$

$$\Gamma_{\text{tot}}(B^{*0}) \simeq \Gamma(B^{*0} \rightarrow B^0\gamma) = (116 \pm 6)\text{eV},$$

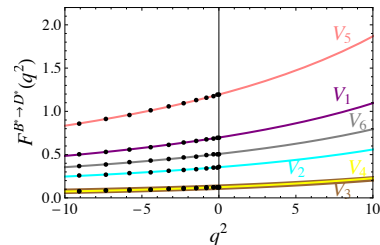
$$\Gamma_{\text{tot}}(B_s^{*0}) \simeq \Gamma(B_s^{*0} \rightarrow B_s^0\gamma) = (84^{+11}_{-9})\text{eV},$$

$$\Gamma_{\text{tot}}(B_c^{*+}) \simeq \Gamma(B_c^{*+} \rightarrow B_c^+\gamma) = (49^{+28}_{-21})\text{eV}. \quad (58)$$

## 形状因子：



(a)



(b)

$$F_i(q^2) = \frac{F_i(0)}{1 - a(q^2/M_{B^*}^2) + b(q^2/M_{B^*}^2)^2}, \quad (59)$$

上式中,  $F_i$  表示的是形状因子  $A_{1-4}$  和  $V_{1-6}$

## Outline

└  $b \rightarrow c\ell^-\bar{\nu}_\ell$  引起的矢量介子半轻衰变的研究

└ 数值结果与分析

$\mathcal{B}(\bar{B}^* \rightarrow V\ell^-\bar{\nu}_\ell)$ :

Decay mode	This Work	BS <sup>[1]</sup>	HQS <sup>[2]</sup>
$\bar{B}^{*-} \rightarrow D^{*0}\ell^-\bar{\nu}_\ell$	$8.42^{+0.23+0.11+0.45}_{-0.24-0.24-0.42} \times 10^{-8}$	$1.26 \times 10^{-7}$	$6.41 \times 10^{-8}$
$\bar{B}^{*-} \rightarrow D^{*0}\tau^-\bar{\nu}_\tau$	$2.26^{+0.08+0.03+0.12}_{-0.08-0.06-0.11} \times 10^{-8}$	$2.74 \times 10^{-8}$	$1.29 \times 10^{-8}$
$\bar{B}^{*0} \rightarrow D^{*+}\ell^-\bar{\nu}_\ell$	$2.51^{+0.08+0.03+0.13}_{-0.07-0.07-0.12} \times 10^{-7}$	—	$1.92 \times 10^{-7}$
$\bar{B}^{*0} \rightarrow D^{*+}\tau^-\bar{\nu}_\tau$	$6.73^{+0.24+0.09+0.35}_{-0.25-0.19-0.32} \times 10^{-8}$	—	$3.88 \times 10^{-8}$
$\bar{B}_s^{*0} \rightarrow D_s^{*+}\ell^-\bar{\nu}_\ell$	$3.46^{+0.17+0.05+0.41}_{-0.17-0.10-0.41} \times 10^{-7}$	$4.63 \times 10^{-7}$	$2.53 \times 10^{-7}$
$\bar{B}_s^{*0} \rightarrow D_s^{*+}\tau^-\bar{\nu}_\tau$	$9.10^{+0.60+0.12+1.07}_{-0.59-0.26-1.07} \times 10^{-8}$	$1.05 \times 10^{-7}$	$5.05 \times 10^{-8}$
$\bar{B}_c^{*-} \rightarrow J/\psi\ell^-\bar{\nu}_\ell$	$5.44^{+0.33+0.07+4.06}_{-0.33-0.16-2.00} \times 10^{-7}$	$5.37 \times 10^{-7}$	$2.91 \times 10^{-7}$
$\bar{B}_c^{*-} \rightarrow J/\psi\tau^-\bar{\nu}_\tau$	$1.43^{+0.13+0.02+1.07}_{-0.12-0.04-0.52} \times 10^{-7}$	$1.49 \times 10^{-7}$	$5.65 \times 10^{-8}$

[1]. semi-leptonic decays of  $B^*$ ,  $B_s^*$ ,  $B_c^*$  with the Bethe-Salpeter method

J. Phys. G 45 (2018) 11, 115001;

[2]. Semileptonic decays of  $B^{(*)}$ ,  $D^{(*)}$  into  $\nu\ell$  and pseudoscalar or vector mesons

Phys. Rev. D 98 (2018) 3, 036004

└  $b \rightarrow c\ell^-\bar{\nu}_\ell$  引起的矢量介子半轻衰变的研究

└ 数值结果与分析

## 物理可观测量 $R_V^*$ 和 $F_L^{*(V)}$ :

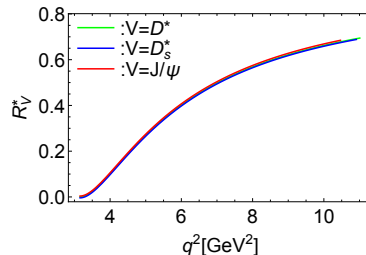
Observable	Prediction	Observable	Prediction
$R_{D^*}^*$	$0.269^{+0.003}_{-0.003}$	$F_L^{*D^*}$	$0.304^{+0.003}_{-0.004}$
$R_{D_s^*}^*$	$0.263^{+0.005}_{-0.005}$	$F_L^{*D_s^*}$	$0.306^{+0.005}_{-0.006}$
$R_{J/\psi}^*$	$0.262^{+0.009}_{-0.007}$	$F_L^{*J/\psi}$	$0.303^{+0.006}_{-0.007}$

$$R_{D^*}^* = 0.217, \quad R_{D_s^*}^* = 0.227, \quad R_{J/\psi}^* = 0.277, \quad \text{BS method}$$

$$R_{D^*}^* = 0.202, \quad R_{D_s^*}^* = 0.200, \quad R_{J/\psi}^* = 0.194, \quad \text{HQS} \quad (60)$$

$\bar{B}^* \rightarrow V\ell^-\bar{\nu}_\ell$  半轻衰变的纵向极化分数  $F_L^{*(V)}$ :

$$F_L^{*(V)} = \frac{\Gamma_{\lambda_V=0}(\bar{B}^* \rightarrow V\tau^-\bar{\nu}_\tau)}{\Gamma(\bar{B}^* \rightarrow V\tau^-\bar{\nu}_\tau)}, \quad (61)$$



- $R_V^*$ :  $R_{D^*}^* \simeq R_{D_s^*}^* \simeq R_{J/\psi}^*$
  - $F_L^{*D^*}$ :  $F_L^{*D^*} \simeq F_L^{*D_s^*} \simeq F_L^{*J/\psi} \simeq 30\%$ ,
- $\Rightarrow \bar{B}^* \rightarrow V\tau^-\bar{\nu}_\tau$ 半轻衰变是以横向极化态为主的。显然其与  $\bar{B} \rightarrow V\tau^-\bar{\nu}_\tau$ 的半轻衰变过程不同，后者是以纵向极化态为主。

└  $b \rightarrow c \ell^- \bar{\nu}_\ell$  引起的矢量介子半轻衰变的研究

└ 数值结果与分析

(II)  $\Upsilon(1S, 2S) \rightarrow B_c^* \ell \bar{\nu}_\ell$

$\mathcal{B}(\Upsilon(nS) \rightarrow B_c^* \ell \bar{\nu}_\ell)$ :

衰变过程	分支比
$\Upsilon(1S) \rightarrow B_c^* \ell' \bar{\nu}_{\ell'}$	$5.48^{+0.07+0.13+0.59}_{-0.16-0.12-0.62} \times 10^{-10}$
$\Upsilon(1S) \rightarrow B_c^* \tau \bar{\nu}_\tau$	$1.17^{+0.02+0.03+0.15}_{-0.03-0.03-0.13} \times 10^{-10}$
$\Upsilon(2S) \rightarrow B_c^* \ell' \bar{\nu}_{\ell'}$	$1.86^{+0.03+0.17+0.17}_{-0.05-0.14-0.21} \times 10^{-9}$
$\Upsilon(2S) \rightarrow B_c^* \tau \bar{\nu}_\tau$	$6.60^{+0.09+0.59+0.59}_{-0.19-0.50-0.90} \times 10^{-10}$

## 小结：

- 所有通过  $b \rightarrow c\ell^-\bar{\nu}_\ell$  过程的  $\bar{B}^* \rightarrow V\ell^-\bar{\nu}_\ell$  半轻衰变的分支比均  $\mathcal{O} > 10^{-9}$ , 在 LHC 和 Belle-II 的实验探测范围内。
- $\Upsilon(1S, 2S) \rightarrow B_c^*\ell^-\bar{\nu}_\ell$  半轻衰变也有着相对较大的分支比, 达到了  $\mathcal{O}(10^{-10} \sim 10^{-9})$ 。
- 与  $B \rightarrow D^*\tau^-\bar{\nu}_\tau$  不同, 通过  $b \rightarrow c\ell^-\bar{\nu}_\ell$  过程引起的矢量介子半轻衰变均以横向极化态为主, 而前者是以纵向极化为主。

## 总结与展望：

- (1) 在LFQM中，通过 $P \rightarrow P, S, V, A$ 过程的张量形状因子，详细地分析了CLF QM的自洽性和协变性，以及zero-mode效应，首次发现传统CLF QM“新”的自洽性问题。传统CLF QM的自洽性和协变性问题，以及首次发现的“新”自洽性问题均可以通过type-II方案得以解决。
- (2) 采用CLF方法对 $b \rightarrow c\ell^-\bar{\nu}_\ell$ 过程的 $b$ 味强子半轻衰变进行唯象研究。
- (3) 以上研究为将来关于非微扰物理量计算方法的改进以及未来高能物理实验中关于 $b$ 味强子半轻衰变的探测提供了理论参考。



感谢各位专家、老师  
批评指正！